

مقاله پژوهشی

بررسی اثرات تزریق سوبستراɪ رنین در هسته آمیگدال مرکزی بر فشار خون شریانی و ضربان قلب در موش صحرایی مبتلا به پرفشاری خون کلیوی-عروقی

بهنام حشمیان*، دکتر محسن برویز**، دکتر سیدمرتضی کریمیان***، دکتر منصور کشاورز**، حمید سوهانکی***

دریافت: ۸۴/۱۱/۱۲، پذیرش: ۸۵/۸/۱۶

چکیده:

مقدمه و هدف: مطالعات قبلی نشان داده اند که القاء پرفشاری خون کلیوی-عروقی، مدل دوکلیه یک گیره ای گلدبلاتی 2Kidney 1Clip Goldblatt Hypertension (2K1C) موجب حذف اثرات افزاینده فشارخون به دنبال غیرفعال سازی هسته آمیگدال مرکزی Central Amygdala (CA) میگردد. این مطالعه بمنظور تعیین تغییرات فعالیت سیستم رنین-آنژیوتانسین Renin - Angiotensin System(RAS) بافتی در هسته CA متعاقب القاء پرفشاری خون کلیوی-عروقی انجام شد. به این منظور اثرات قلبی عروقی تزریق سوبستراɪ رنین (RS) در CA موش‌های صحرایی سالم و مبتلا به پرفشاری خون 2K1C بررسی وبا هم مقایسه شدند.

روش کار: در یک مطالعه تجربی در گروه مورد با نصب گیره نقره ای بر روی شریان کلیوی چپ پرفشاری خون 2K1C و در گروه شاهد عمل جراحی مشابه بدون نصب گیره نقره ای انجام شد. هفت هفته بعد کانول گذاری دوطرفه در بالای CA جهت تزریقات انجام گرفت. پس از یک هفته بیهویتی از جراحی، با تزریق داخل صفاقی اورتان (1g/kg) بیهوشی القاء و کانول گذاری در شریان رانی چپ بمنظور اندازه گیری فشار خون متوسط شریانی (MAP) و ضربان Mean Arterial Blood pressure (MAP) قلب (HR) انجام شد. اثرات تزریق RS در CA با دوزهای پی درپی (1/۱۰ و ۱/۱۱ میکرومولار- نیم میکرولیتر)، سالین و پیش درمانی با کاپتوپریل (10^{-M})، لوزارتان (10^{-M}) و سارالازین (10^{-M}) قبل از RS بر میزان MAP و HR در سه گروه کنترل، شاهد و گلدبلاتی اندازه گیری شد.

نتایج: تزریق دو طرفه دوزهای پی درپی RS در حیوانات مبتلا به پرفشاری خون 2K1C موجب افزایش معنی دار MAP و HR نسبت به گروه های کنترل و شاهد گردید ($P<0.001$). تزریق سارالازین و لوزارتان در حیوانات 2K1C موجب کاهش معنی دار MAP و HR از مقادیر پایه گردید اما کاپتوپریل چنین اثری نداشت. پس از پیش درمانی با لوزارتان، سارالازین و کاپتوپریل اثرات تزریق RS در تمام گروه ها مهار شد. این مطالعه برخواست اثرات قلبی عروقی تزریق RS در CA و افزایش آن در حیوانات 2K1C واژ طرفی اثرات سارالازین و لوزارتان بر MAP و HR را نشان داد. مهار اثرات RS توسط لوزارتان و سارالازین مطرح کننده میانجیگری گیرنده های آنژیوتانسین II و اثرات مهار این اثرات توسط کاپتوپریل مطرح کننده تبدیل سوبستراɪ رنین به آنژیوتانسین I توسعه آنژیم رنین می باشد.

نتیجه نهائی: نتایج این تحقیق علاوه بر تأیید حضور و فعالیت رنین، آنژیم مبدل آنژیوتانسین و گیرندهای آنژیوتانسین II در آمیگدال مرکزی افزایش فعالیت سیستم رنین-آنژیوتانسین بافتی در این هسته و احتمال دخیل بودن این تغییرات در بیماری‌ای پرفشاری خون دوکلیه یک گیره ای گلدبلاتی را مطرح می کند.

آمیگدال مرکزی / پرفشاری خون / سوبستراɪ رنین / سیستم رنین - آنژیوتانسین

* کارشناس ارشد گروه فیزیولوژی دانشکده پزشکی دانشگاه علوم پزشکی همدان (behbehesh@yahoo.com)

** استاد گروه فیزیولوژی دانشکده پزشکی دانشگاه علوم پزشکی تهران

*** استادیار گروه فیزیولوژی دانشکده پزشکی دانشگاه علوم پزشکی تهران

**** کارشناس ارشد گروه فیزیولوژی دانشکده پزشکی دانشگاه علوم پزشکی تهران

مقدمه:

هسته مرکزی آمیگدال عملکردهای متفاوتی دارد که از جمله می‌توان به دخالت در روند حافظه، تنظیم سیستم قلبی - عروقی و هیجانات اشاره کرد(۱). تحریک شیمیایی و الکتریکی CA در موشهای صحرایی بیهوش موجب کاهش فشار خون و ضربان قلب می‌شود (۱-۳). بعلاوه نشان داده شده است که تحریک شیمیایی و یا الکتریکی این هسته روند افزایش فشار خون در موشهای ذاتاً مبتلا به پرفشاری خون را تغییر می‌دهد(۴,۵).

یکی از مدل‌های تجربی مورد استفاده القاء پرفشاری خون در مطالعات علوم پزشکی، مدل دو کلیه یک گیره ای گلدبلاطی (2K 1C) (۶). در این شیوه پرفشاری خون با تنگ کردن یک طرفه شریان کلیوی و فعال کردن RAS ایجاد می‌شود (۷-۱۰) به نحوی که افزایش تولید رنین از دستگاه کنار گلومرول کلیه موجب Angiotensinogen تبدیل آنژیوتانسینوزن (Atg) به آنژیوتانسین یک (AngI) (AngI) شده و AngI نیز توسط آنزیم مبدل آنژیوتانسین Angiotensin Converting Enzyme (ACE) آنژیوتانسین دو (AngII) تبدیل می‌شود (۱۱,۱۲). دلایل قوی وجود دارد که اهمیت سیستم رنین- آنژیوتانسین موضعی مغز در ایجاد این نوع از پرفشاری خون را نشان می‌دهد(۱۳,۱۴).

تمام اجزاء RAS شامل ACE, Renin, Atg, Ang I, Ang II و گیرنده‌های Ang II که تحت عنوان AT_2 و AT_1 خوانده می‌شوند در آمیگدال مرکزی شناسایی شده اند (۱۵-۲۰). مطالعات قبلی نشان داده که القاء پرفشاری خون 2K 1C در موش صحرایی موجب حذف اثرات افزاینده BP و HR ناشی از غیر فعال سازی CA می‌شود (۲۱). مطالعه حاضر به منظور بررسی تغییرات فعالیت RAS موضعی آمیگدال مرکزی پس از القاء پرفشاری خون 2K1C و ارزیابی پاسخهای قلبی-عروقی ناشی از تزریق CA سوبستراتی رنین (Renin Substrate) به داخل طراحی شده است.

روش کار:

حیوانات: در این مطالعه تجربی تمام آزمایشات بر روی موشهای نر نژاد ویستار در محدوده وزنی $200 \pm 20\text{gr}$ پرورش یافته در حیوانخانه گروه فیزیولوژی دانشگاه علوم

پزشکی تهران انجام شد. موشهای در درجه حرارت تحت کنترل 24°C و دوره تاریکی روشنایی دوازده ساعته در قفس نگهداری می‌شدند.

طراحی آزمایشات: ۱۳۰ راس موش به طور تصادفی به سه گروه اصلی شامل ۱- گروه کنترل - ۲- گروه شاهد جراحی - ۳- گروه مبتلا به پرفشاری خون گلدبلاطی تقسیم شدند. هر گروه اصلی به پنج زیر گروه تقسیم شده و اثرات قلبی-عروقی تزریق RS، سالین و پیش درمانی وزارتان، سارالازین و یا کاپتوپریل قبل از تزریق در آمیگدال مرکزی در هر زیر گروه انجام شد. هر زیر گروه مبتلا به پرفشاری خون شامل ده راس (دو راس اضافه جهت حذف موارد دارای فشارخون کمتر از ملاک مطالعه) و سایر گروه‌ها شامل هشت راس موش بودند لذا نهایتاً در هر زیر گروه هشت راس موش مورد مطالعه قرار گرفت.

کاپتوپریل مهار کننده ACE و یکی از داروهای پرمصرف در کنترل فشار خون می‌باشد، سارالازین پیتیدی صناعی و مهار کننده غیر رقابتی و غیراختصاصی گیرنده‌های AngII و وزارتان مهار کننده رقابتی و اختصاصی گیرنده‌های AT₁ می‌باشد (۱۹,۲۲). پیتیدی شامل چهارده اسید آمینه انتهای کربوکسیلیک از Atg می‌باشد که تمام اثرات فیزیولوژیک Atg را دارا بوده و به سبب سهولت و در دسترس بودن به جای Atg مورد استفاده قرار می‌گیرد (۲۳).

القاء پرفشاری خون: تحت بیهوشی با پنتوباربیتال سدیم (IP, 50mg /kg) شکافی در پهلوی چپ ایجاد شد. پس از جدا کردن شریان کلیوی، گیره ای U شکل با فاصله ۰/۲ میلی متر (بین تیغه‌های گیره) بر روی آن نصب و به این ترتیب انسداد نسبی شریان کلیوی چپ ایجاد شد. موشهای هشت هفتۀ بعد از انجام این جراحی مورد مطالعه قرار گرفتند. تنها موشهایی که فشار خون سیستولیک آنها در هفتۀ هشتم بیشتر از 140 mmHg بود به عنوان موش‌های هایپرتنسیو مورد مطالعه قرار گرفتند (۲۲). جراحی مشابهی بدون نصب گیره نقره‌ای در گروه شاهد انجام شد. جراحی استروتاکسی: هفت هفتۀ پس از القاء پرفشاری خون و یا انجام عمل جراحی در گروه شاهد جراحی، موشهای تحت بیهوشی با پنتوباربیتال سدیم (IP, 50mg /kg) در دستگاه استروتاکسی (Stoelting - USA) قرار داده شدند. میله دندانی $3/3\text{ mm}$ زیر صفر افق قرار داشت تا طبق اطلس وضعیت صاف جمجمه حاصل گردد. کانول

در محل تزریق انجام شد. تحت بیهوشی عمیق با اورتان ابتدا ۶۰ میلی لیتر نرمال سالین هپارینه و سپس ۲۰۰ میلی لیتر فرمالین ۱۰٪ به داخل بطن چپ تزریق شد. سپس مغز حیوان خارج و بعد از آبگیری به برشهای ۵۰ میکرومتری کرونال برش داده شد، برشهای مذکور بوسیله محلول ۱٪ قرمز خنثی رنگ آمیزی گردید. سپس محل انجام تزریق با اطلس پاکسینوس و واتسون مقایسه گردیده و نتایج بدست آمده از نمونه های که تزریق خارج از CA صورت گرفته بود حذف می شدند.

مواد و داروها: سوبستراپ رنین-1 (Angiotensinogen 14,Asp-Arg-Val-Tyr-Ile-His-Pro-Phe-His-leu-Leu-Val-Tyr-Ser)، اورتان، سارالازین و پنتوباربیتال سدیم از شرکت Sigma خریداری گردید. کاپتوپریل و لوزارتان از شرکت Merck تهیه شد.

تجزیه و تحلیل آماری: میانگین تغییرات BP و HR طی زمان ده دقیقه ای بین تزریقات محاسبه و در تجزیه و تحلیل داده ها مورد استفاده قرار گرفت. تمام مقادیر به صورت $Mean \pm SEM$ ارائه گردید. اثرات دوزهای متوازن RS و اثرات RS پس از پیش درمانی ها و همچنین تزریقات متوازن سالین بر HR و BP بوسیله آزمون ANOVA دو طرفه بررسی شدند. تغییرات HR و BP از مقادیر پایه پس از تزریق لوزارتان، سارالازین و کاپتوپریل توسط آزمون ANOVA یک طرفه بررسی گردیدند. تست تکمیلی Tukey متعاقب آزمونهای فوق انجام شد و مقادیر $P < 0.05$ بعنوان معیار اختلاف معنی دار در نظر گرفته شد.

نتایج:

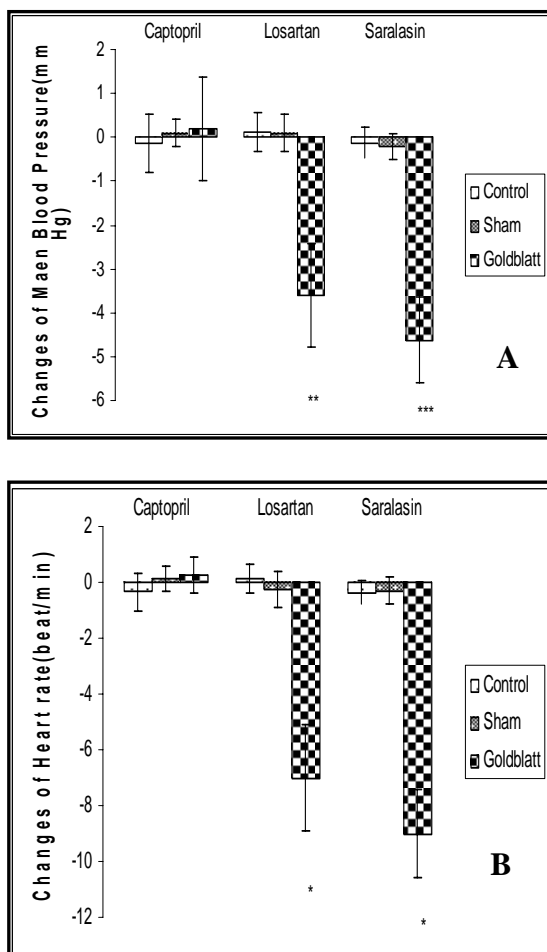
اثرات تزریق نرمال سالین در CA بر فشار خون و ضربان قلب: تزریق دو طرفه نرمال سالین در فواصل زمانی و دفعات تزریق همانند تزریق RS بعنوان تزریق کنترل انجام شد. تزریقات سالین در هیچ یک از گروه ها اثری بر مقادیر فشار خون و ضربان قلب نداشت.

اثرات تزریق RS در CA بر فشار خون و ضربان قلب: در حیوانات مبتلا به پرفشاری خون گلدبلاطی تزریق دو طرفه دوزهای ۱۰/۱ و ۱۰ میکرومولار SR در CA موجب افزایش معنی دار فشار خون و ضربان قلب نسبت به مقادیر پایه گردید. اما در گروه های کنترل و شاهد فقط دوزهای ۱۰ میکرومولار RS

راهنما از سر سوزن شماره ۲۳ با طول $6/2\text{ mm}$ ساخته شد و به طور دو طرفه در جمجمه حیوان قرار داده شد به نحوی که این کانولها 2 mm بالاتر از CA قرار گرفتند. به این منظور مختصات زیر از اطلس پاکسینوس و واتسون (۱۹۸۶) مورد استفاده قرار گرفت (۲۴). کانول راهنما بوسیله دو عدد پیچ عینک و سیمان دندانپزشکی بر روی جمجمه ثابت شد.

تزریق در هسته آمیگدال مرکزی: یک هفته پس از انجام استرووتاکسی و بیهودی از تنفس جراحی (۲۳، ۲۵)، حیوانات با تزریق داخل صفاقی اورتان 1 g/kg بیهودش شدند. سپس کانول پلی اتیلنی هپارینه ای به منظور اندازه گیری فشار خون شریانی و ضربان قلب در شریان رانی نصب شد. پس از اتصال کانول شریانی به ترانسدیوسر فشاری (استرالیا - ML 750/4SP, AD Instrument) و گذشت ۴۵ دقیقه از پایان جراحی و ثبات فشار خون و ضربان قلب، تزریق به داخل CA انجام شد. به این منظور کانول تزریق ساخته شده از سر سوزن شماره ۳۰ با طول $8/2\text{ mm}$ بوسیله لوله پلی اتیلن شماره ۱۰ با طول 15 cm به سرنگ همیلتون ۲ میکرولیتری متصل شد. تمام داروها در نرمال سالین حل شده و تزریقات با حجم ۰/۵ میکرولیتر طی یک دقیقه انجام می شد (۲۳). پس از اتمام هر تزریق کانول تزریق به مدت یک دقیقه دیگر برای انتشار دارو به داخل هسته در محل تزریق حفظ می شد. دریکی از زیر گروه های هر گروه اصلی، تزریق نرمال سالین بعنوان تزریق کنترل انجام شد. تزریق RS در سه دوز پی در پی $1/0$ ، $1/0$ و $1/0$ میکرومولار با فاصله ۱۵ دقیقه بین تزریق هر دوز با دوز بعدی انجام می شد. ابتدا دوز رقیق $1/0$ و سپس دوزهای $1/0$ میکرومولار تزریق شدند. تزریق لوزارتال، کاپتوپریل و سارالازین نیز با دوزهای به ترتیب $10\text{ }\mu\text{M}$ ، $10\text{ }\mu\text{M}$ و $1\text{ }\mu\text{M}$ انجام می گرفت. تا ده دقیقه پس از انجام هر تزریق تغییرات HR، BP، و RS ثبت شده و میانگین تغییرات در این مدت بعنوان نتیجه آزمایشات محاسبه و در تجزیه و تحلیل داده ها مورد استفاده قرار گرفت. ده دقیقه پس از تزریق لوزارتان، کاپتوپریل و سارالازین، RS با دوز 1 میکرو مولار تزریق شد.

مطالعات بافت شناسی: پس از انجام آزمایشات بر روی هر نمونه محل انجام تزریق در مغز تعیین شد. به این منظور در پایان هر مطالعه تزریق $1/0$ میکرولیتر Sky blue در



شکل ۲: تغییرات فشار خون متوسط شریانی (A) و ضربان قلب (B) پس از تزریق کاپتوپریل، لوزارتان و سارالازین در CA.

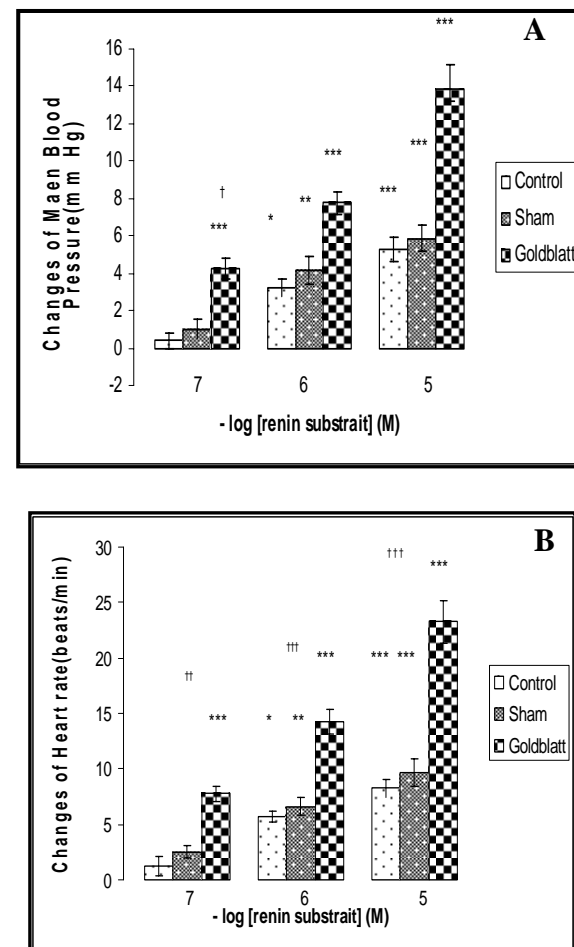
گروه های کنترل، شاهد و گلدبلاتی نسبت به مقادیر پایه * P <0.05, ** P<0.01, *** P<0.001 (N=8)

اثرات تزریق لوزارتان و کاپتوپریل در CA بر فشار خون و ضربان قلب: تزریق دو طرفه لوزارتان به داخل CA در حیوانات گلدبلاتی موجب کاهش معنی دار BP و HR از مقادیر پایه گردید.

(به ترتیب -7 ± 1.91 beats / min P< 0.05, -3.62 ± 1.18 mmHg P < 0.01 . تزریق لوزارتان در CA گروه های کنترل و شاهد اثری به فشار خون و ضربان قلب نداشت. از طرفی تزریق دو طرفه کاپتوپریل در CA اثر معنی داری بر مقادیر فشار خون و ضربان قلب هیچ یک از گروه ها نداشت (شکل ۱).

اثرات پیش درمانی با سارالازین و کاپتوپریل بر اثرات تزریق RS در CA : پس از پیش درمانی با لوزارتان سارالازین و کاپتوپریل اثرات تزریق RS در CA در تمام گروه های گلدبلاتی کنترل و شاهد مهار شد.

موجب افزایش معنی دار فشار خون و ضربان قلب گردید. از طرفی افزایش HR و BP ناشی از تزریق RS در CA حیوانات گلدبلاتی نسبت به گروه های کنترل و شاهد بیشتر و دارای اختلاف معنی دار می باشد (شکل ۱).



شکل ۱: تغییرات فشارخون (A) و ضربان قلب (B) پس از تزریق دوزهای مختلف CA در RS گروههای کنترل، شاهد و گلدبلاتی. (N=8)

اختلاف نسبت به مقادیر پایه: * P<0.05, **P<0.01, ***P<0.001
اختلاف بین گروههای نوروموتیسو و هابرتسیو: †† P<0.01 ††† P<0.001

اثرات تزریق سارالازین در CA بر فشار خون و ضربان قلب: تزریق دو طرفه سارالازین به داخل CA حیوانات گلدبلاتی موجب کاهش معنی دار HR و BP از مقادیر پایه گردید -9 ± 1.6 beats/min P < 0.05, -4.62 ± 0.99 mm/Hg, (شکل ۲) اما این آزمایش اثری بر فشار خون و ضربان قلب حیوانات گروه کنترل و شاهد نداشت.

بحث:

است (۱۸-۲۰) اما شواهد کمی در تایید وجود رنین در CA وجود دارد. بنابراین تولید و فعالیت رنین در مغز کماکان موضوع بحث و جدل می باشد (۱۵). از طرف دیگر، مطالعات فراوانی دخالت RAS موضعی مغز در ایجاد پرفشاری خون دو کلیه ای گلدبلاطی را تأیید می کنند (۲۶،۲۷).

اثرات پایین آورنده فشار خون و ضربان قلب ناشی از تزریق لوزارتان و سارالازین در CA موهشهای هایپرتنسیو افزایش تولید Ang II و یا تنظیم افزایشی گیرنده Ang II در این هسته را پیشنهاد می کند. نتایج مطالعه حاضر با مطالعات موری شیتا و همکاران که افزایش میزان Ang II در مغز و کاهش فشار خون ناشی از مهار گیرنده های Ang II پس از القاء پرفشاری خون دو کلیه ای گلدبلاطی را نشان داد (۲۷) و همچنین تنظیم افزایشی گیرنده Ang II نشان داده شده توسط یاکی ویچ و همکاران (۲۶) و از طرفی با مطالعات کاگی یاما و همکاران که کاهش فشار خون پس از مهار RAS بافتی مغز در موهشهای گلدبلاطی را نشان داده اند همخوانی دارد (۱۳) و مهار اثرات RS با سارالازین و لوزارتان نشان می دهد که این اثرات به احتمال زیاد توسط گیرنده های AT1 ایجاد می شود.

پاسخدهی به RS تزریق شده در CA موش صحرابی عملاً حضور رنین یا یک آنزیم مبدل Atg I به Ang II، آنزیم مبدل آنژیوتانسین و همچنین گیرنده های آنژیوتانسین II در این هسته می باشد، زیرا برای بروز پاسخدهی به RS تبدیل آن به AngI و سپس تبدیل AngI به AngII و یا تبدیل بی واسطه RS به II Ang بعنوان پتید موثر و دارای گیرنده RAS ضروری می باشد (۱۱،۱۲).

مشخص شده است علاوه بر رنین آنزیم های دیگری از جمله تونین (Tonin) قادرند با تبدیل مستقیم به RS Ang II در روند پاسخدهی به RS تزریق شده در CA نقش داشته باشد (۲۸،۲۹). اما مهار پاسخدهی به RS از پیش درمانی با کاپتوپریل پیشنهاد می کند که رنین RS را به I Ang تبدیل کرده و مهار ACE توسط کاپتوپریل تبدیل I Ang به II Ang را مهار کرده است. این در حالیست که تونین RS و Atg به RS از طرف دیگر تأثیر از کاپتوپریل نیست (۳۰). از طرف دیگر تا کنون حضور یا فعالیت تونین در CA گزارش نشده است (۲۸،۳۱).

آمیگدال مرکزی بعنوان یکی از هسته های مهم در کنترل فعالیت قلبی - عروقی و سیستم عصبی خودمختار مد نظر قرار گرفته است. افزایش فعالیت سیستم رنین - آنژیوتانسین موضعی در آمیگدال ممکن است مکانیسم مهمی در بیماریزایی پرفشاری خون دو کلیه ای گلدبلاطی باشد.

نتایج این مطالعه نشان می دهد که تزریق RS در CA موجب افزایش فشار خون و ضربان قلب میگردد و این اثردر موهشهای گلدبلاطی در مقایسه با موهشهای با فشار خون طبیعی بیشتر می باشد. از طرف دیگر تزریق لوزارتان و سارالازین در CA موهشهای هایپرتنسیو سبب کاهش فشار خون و ضربان قلب می گردد در حالی که در حیوانات نورموتنسیو چنین اثری ندارد و اثرات مذکوربا پیش درمانی با لوزارتان، سارالازین و یا کاپتوپریل مهار میگردد.

نتایج این مطالعه افزایش فعالیت سیستم رنین - آنژیوتانسین بافتی CA پس از القاء پرفشاری خون رنوسکولار را مطرح می کند. نتایج مطالعه قبلی نشان داده که غیر فعال کردن برگشت پذیر این هسته (با تزریق لیدوکائین٪۲) سبب افزایش HR و MAP در حیوانات نورموتنسیو شده در حالی که در حیوانات هایپرتنسیو گلدبلاطی چنین اثری ندارد (۲۱). نتایج این مطالعه موید نتایج مطالعات گالنو و شارما نیز می باشد. ایشان اظهار داشته اند که CA اثرات تونیک مهاری بر فعالیت قلبی-عروقی دارد و از بین رفتن این اثرات مهاری می تواند با افزایش فعالیت قلبی - عروقی زمینه ساز پرفشاری خون گردد (۴،۵).

از آنجا که هیچ اثر بیولوژیک شناخته شده ای برای Atg و سوبسترای رنین دست نخورده (تبدیل نشده به AngI) گذارش نشده است واز طرفی اثرات تزریق CA سوبسترای رنین در بوسیله لوزارتان، سارالازین و کاپتوپریل مهار میگردد، به نظر می رسد RS توسط اجزای RAS موضعی موجود در CA به AngII تبدیل و با اثر بر گیرنده های آن موجب بروز اثرات قلبی عروقی میگردد. در مسیر کلاسیک RAS آنژیوتانسینوژن توسط رنین به AngII تبدیل شده که AngI نیز توسط ACE به AngII تبدیل می شود (۱۸). هرچند حضور تمام اجزای این سیستم در آمیگدال توسط مطالعات زیادی تایید شده

- of the amygdala. *J Auton Nerv Syst.* 1993 Oct;45(1):61-75.
4. Galeno TM, Van Hoesen GW, Maixner W, Johnson AK, Brody MJ. Contribution of the amygdala to the development of spontaneous hypertension. *Brain Res* 1982 Aug; 246(1):1-6.
 5. Sharma NB, Gelsema AJ. Central nucleus of the amygdala and the development of hypertension in spontaneously hypertensive rats. *Am J Physiol* 1995 May;268(5 Pt 2): R1171-7.
 6. Goldblatt, P. J. The Goldblatt experiment: a conceptual paradigm In Hypertension Pathophysiology, diagnosis and management, edited by Laragh JH and Brenner BM. New York: Raven, 1995: 23-35.
 7. Braam B, Navar LG, Mitchell KD. Modulation of tubuloglomerular feedback by angiotensin II type 1 receptors during the development of Goldblatt hypertension. *Hypertension*. 1995 Jun;25(6):1232-7.
 8. He HM, Long CL, Zhang LZ, Fu AL, Wang H. Alteration of binding sites for [³H]P1075 and [³H] glibenclamide in renovascular hypertensive rat aorta. *Acta Pharmacol Sin.* 2005 Jan;26(1):69-76.
 9. Imamura A, Mackenzie HS, Lacy ER, Hutchison FN, Fitzgibbon WR, Plotk DW. Effects of chronic treatment with angiotensin converting enzyme inhibitor or an angiotensin receptor antagonist in two-kidney, one-clip hypertensive rats. *Kidney Int* 1995 May;47(5):1394-402.
 10. Navar LG, Zou L, Von Thun A, Targ WC, Imig JD, Mitchell KD. Unraveling the Mystery of Goldblatt Hypertension. *News Physiol Sci* 1998 Aug;13:170-176.
 11. Sharifi AM, Akbarloo N, Heshmatian B, Ziai A. Alteration of local ACE activity and vascular responsiveness during development of 2K1C renovascular hypertension. *Pharmacol Res* 2003; 47 (3):201-9.
 12. Romero JC, Feldstein AE, Rodriguez-Porcel MG, Cases-Amenos A. New insights into the pathophysiology of renovascular hypertension. *Mayo Clin Proc* 1997 Mar; 72 (3): 251-60.
 13. Kagiyama S, Varela A, Phillips MI, Galli SM. Antisense inhibition of brain renin-angiotensin system decreased blood pressure in chronic 2-kidney, 1 clip hypertensive rats. *Hypertension*. 2001;37(2Part 2):371-5.
 14. Jackiewicz E, Szczepanska-Sadowska E, Dobruch J. Altered expression of angiotensin AT1a and vasopressin V1a receptors and nitric oxide synthase mRNA in the brain of rats with renovascular hypertension. *J Physiol Pharmacol.* 2004 Dec;55(4):725-37.

افزایش معنی دار پاسخدهی به RS تزریق شده در CA در حیوانات هایپرتنسیو در مقایسه با گروه نورموتنسیو کنترل و شاهد ممکن است با افزایش فعالیت رنین و یا ACE در CA ایجاد شده باشد اما فعالیت رنین در روند تبدیل Ang I به Ang II تبدیل Ang I به Ang II در RAS محدود کننده در بافتی می باشد (۳۲).

باتوجه به محدودیتهای موجود، تهیه مهار کننده های رنین برای ما غیرممکن بود. ارزیابی اثرات مهار کننده های رنین بر پاسخدهی قلبی - عروقی به تزریق RS در CA همچنین اندازه گیری فعالیت رنین در این هسته پس از القاء پرسای خون 2K1C موجب گشوده شدن چشم اندازی واضح تر از تغییرات ایجاد شده در سیستم رنین - آنژیوتانسین موضعی CA و همچنین بیماریزایی پرفشاری خون دو کلیه ای خواهد شد.

نتایج این مطالعه افزایش فعالیت سیستم رنین - آنژیوتانسین بافتی CA پس از القاء پرسای خون کلیوی - عروقی را مطرح می کند و عملاً "اثرات قلبی عروقی تزریق RS در هسته های مغز و افزایش این اثرات در آمیگدال مرکزی موشهای مبتلا به پرفشاری خون دو کلیه ای گلدبلاتی را نشان داده است.

نتیجه نهایی :

نتایج این مطالعه حضور و فعالیت موضعی اجزاء سیستم رنین-آنژیوتانسین از جمله رنین، ACE و گیرنده های Ang II در هسته آمیگدال مرکزی را تایید نموده و همچنین افزایش فعالیت سیستم رنین-آنژیوتانسین بافتی در این هسته و احتمال دخیل بودن این تغییرات در بیماریزایی پرفشاری خون دو کلیه ای گلدبلاتی را مطرح می کند.

منابع :

1. Faiers AA, Calaresu FR, Mogenson GJ. Pathway mediating hypotension elicited by stimulation of the amygdala in the rat. *Am J Physiol.* 1975 May;228(5):1358-66.
2. Gelsema AJ, McKittrick DJ, Calaresu FR. Cardiovascular responses to chemical and electrical stimulation of amygdala in rats. *Am J Physiol* 1987 Nov;253(5 Pt 2):R712-8.
3. Roder S, Ciriello J. Contribution of bed nucleus of the stria terminalis to the cardiovascular responses elicited by stimulation

15. Lavoie JL, Cassell MD, Gross KW, Sigmund CD. Localization of renin expressing cells in the brain, by use of a REN-eGFP transgenic model. *Physiol Genomics*. 2004; 16(2):240-6.
16. Reagan LP, Flanagan LM, Yee DK, Ma LY, Sakai RR, Fluharty SJ. Immunohistochemical mapping of angiotensin type-2 (AT2) receptors in rat brain. *Brain Res* 1994; 662:45-59.
17. Lavoie JL, Cassell MD, Gross KW, Sigmund CD. Adjacent expression of renin and angiotensinogen in the rostral ventrolateral medulla using a dual-reporter transgenic model. *Hypertension*. 2004 May;43(5): 1116-9.
18. Banegas I, Prieto I, Alba F, Vives F, Araque A, Segarra AB, et al. Angiotensinase activity is asymmetrically distributed in the amygdala, hippocampus and prefrontal cortex of the rat. *Behav Brain Res* 2005 Jan; 156(2):321-6.
19. Ferguson AV, Washburn DL. Angiotensin II: a peptidergic neurotransmitter in central autonomic pathways. *Prog Neurobiol* 1998 Feb; 54(2):169-92.
20. Ferguson AV, Washburn DL, Latchford KJ. Hormonal and neurotransmitter roles for angiotensin in the regulation of central autonomic function. *Exp Biol Med (Maywood)*. 2001 Feb;226(2):85-96.
21. Zarei M, Heshmatian B, Sarihi A. The effect of reversible inactivation of the central amygdaloid nucleus on cardiovascular responses in rats with renal hypertension-Iranian. *J Pharmaceut Res* 2004 May; 3 suppl [Abstract]
22. Carvalho TH, Bergamaschi CT, Lopes OU, Campos RR. Role of endogenous angiotensin II on glutamatergic actions in the rostral ventrolateral medulla in Goldblatt hypertensive rats. *Hypertension* 2003 Oct;42(4): 707-12. Epub 2003 Aug 11.
23. Prado WA, Pelegriini-da-Silva A, Martins AR. Microinjection of renin-angiotensin system peptides in discrete sites within the rat periaqueductal gray matter elicits antinociception. *Brain Res* 2003 May ;972 (1-2): 207-15.
24. Paxinos G, Watson C, in: *The rat Brain in stereotaxic coordinates*, Sydney: Academic Press, 1986
25. Sajdyk TJ, Shekhar A. Excitatory amino acid receptor antagonists block the cardiovascular and anxiety responses elicited by gamma-aminobutyric acid A receptor blockade in the basolateral amygdala of rats. *J Pharmacol Exp Ther* 1997 Nov; 283 (2):969-77.
26. Jackiewicz E, Szczepanska-Sadowska E, Dobruch J. Altered expression of angiotensin AT1a and vasopressin V1a receptors and nitric oxide synthase mRNA in the brain of rats with renovascular hypertension. *J Physiol Pharmacol* 2004 Dec;55(4):725-37.
27. Morishita R, Higaki J, Ookunihi H, Nakamura F, Nagano M, Nicami H, et al. Role of the tissue renin angiotensin system in tow-kidney one-clip hypertensive rats. *Am J Physiol* 1993;26:F510-F514.
28. Lomez ES, Araujo RC, Bader M, Pesquero JB, Pesquero JL. Tonin and kallikrein in the brain of transgenic rat line expressing human tissue kallikrein. *Hypertension* 2002 Feb; 39(2):229-32
29. Kondo K, Garcia R, Boucher R, Genest J. Effects of intracerebroventricular administration of tonin on water intake and blood pressure in the rat. *Brain Res* 1980 Nov; 200(2):437-41.
30. Araujo RC, Lima MP, Lomez ES, Bader M, Pesquero JB, Sumitani M, et al. Tonin expression in the rat brain and tonin-mediated central production of angiotensin II. *Physiol Behav* 2002 Jun;76(2):327-33.
31. Sleight P, Yusuf S, Pogue J, et al. Blood-pressure reduction and cardiovascular risk in HOPE study. *Lancet* 2001; 358:2130-2131.
32. Crowley SD, Tharaux PL, Audoly LP, Coffman TM. Exploring type I angiotensin (AT1) receptor functions through gene targeting. *Acta Physiol Scand* 2004 Aug; 181 (4):561-70.